

Marian BUDKA

## O PEWNEJ METODZIE PRYZDZIAŁU ELEMENTÓW FUNKCJONALNYCH MODUŁOM W UKŁADACH CYFROWYCH

**Streszczenie.** W artykule dyskutowany jest problem przydziału elementów funkcjonalnych do modułów z uwzględnieniem właściwości diagnostycznej otrzymanej w wyniku tego podziału, struktury modułowej układu cyfrowego.

Przedstawiono metodę przydziału elementów funkcjonalnych do modułów, zapewniającego uzyskanie modułowych struktur o minimalnym lub prawie minimalnym koszcie diagnozy związanym z ilością dodatkowych punktów kontrolnych i testów diagnostycznych niezbędnych do zlokalizowania uszkodzenia z dokładnością do modułu.

1. Wprowadzenie

Modułowość nowoczesnych rozwiązań urządzeń cyfrowych powoduje, że praktycznie żąda się w przypadku awarii urządzenia wskazania uszkodzenia z dokładnością do wymiennalnego podzespołu - modułu. Pod pojęciem modułu rozumiany może być blok funkcjonalny systemu komputerowego, pakiet stanowiący część bloku lub układ scalony (kostka) będący podzespołem znajdującym się na płytce (karcie).

Złożoność procesu diagnozy w tych przypadkach zależy głównie od struktury funkcjonalnej (logicznej) układu lub urządzenia, zbioru dopuszczalnych wejść i obserwowalnych wyjść układu, zbioru typowych prawdopodobnych uszkodzeń występujących w układzie i techniki testowania. Złożoność procedur lokalizujących uszkodzony moduł (podzespół) zależy obok wymienionych wyżej czynników od modułowej struktury układu cyfrowego, tzn. od sposobu przydziału elementów funkcjonalnych (bramek, multiplekserów, dekoderek itp.) modułom - układom scalonym.

Znane są metody wyboru minimalnych lub prawie minimalnych zbiorów testów diagnostycznych pozwalających na zlokalizowanie uszkodzenia z dokładnością do modułu przy zadanej strukturze modułowej układów, brak jest natomiast efektywnych metod syntezy struktur modułowych o żądanych lub optymalnych właściwościach diagnostycznych.

Niniejsza praca stanowi jedną z prób stworzenia podstaw teoretycznych metody podziału sieci logicznej na moduły ze zbioru modułów przeznaczonych do technicznej realizacji układu. Stanowi ona kontynuację szeregu prac autora na tematy syntezy łatwo diagnozowalnych modułowych struktur.

## 2. Podstawowe określenia

Dla związek przedstawiania teoretycznych podstaw metody oraz samej procedury wprowadzony zostanie zestaw podstawowych określeń.

Zbiorem uszkodzeń  $F$  nazwiemy zbiór logicznych, trwałych i pojedynczych defektów jakie mogą wystąpić w układzie cyfrowym.

Dopuszczalnym zbiorem testów  $T$  nazwiemy zbiór testów, które mogą być podawane na wejścia badanego układu w procesie diagnozy.

Dopuszczalnym zbiorem punktów kontrolnych  $P$  nazwiemy zbiór węzłów (punktów) sieci logicznej, w których mogą być obserwowane wartości logiczne sygnałów w procesie diagnozy.

Procedurą  $\pi$  przydziału elementów funkcjonalnych modułom nazwiemy iteracyjną procedurę prowadzącą do określenia łatwo diagnozowalnych modułowych struktur, której kolejne etapy (kroki) zdeterminowane są wybraną parą "test-punkt kontrolny".

Zbiorem testów  $T_k$  nazwiemy podzbiór testów zbioru  $T$  wybranych w etapach procedury  $\pi$  od pierwszego do  $k$ -tego włącznie. Liczność zbioru  $T_k$  jest mniejsza lub równa  $k$ .

Zbiorem punktów kontrolnych  $P_k$  nazwiemy podzbiór zbioru  $P$  zawierający punkty kontrolne wybrane w etapach procedury  $\pi$  od pierwszego do  $k$ -tego włącznie. Liczność zbioru  $P_k$  jest mniejsza lub równa  $k$ .

Blok  $F_1$  jest to każdy z podzbiorów zbioru  $F$ , który można jednoznacznie rozróżnić w oparciu o testy ze zbioru  $T_k$  i punkty kontrolne  $P_k$ .

Sumą bloków  $(\sum F)_p$  pewnej liczby bloków  $F_1$  wybranych z bloków  $F_1, F_2, F_3, \dots, F_r$ , przy czym  $F_1 \cup F_2 \dots \cup F_r = F$ , jest zbiór będący sumą tych zbiorów  $F_1$  z tym, że uszkodzenia żadnego z elementów funkcjonalnych, których niesprawności są zgrupowane w wybranych blokach  $F_1$  nie występują w żadnym z pozostałych bloków.

Wielkością określającą jakościowo i ilościowo sumę bloków jest cecha sumy bloków zdefiniowana poniżej.

Cecha sumy bloków  $C_{\sum F}$  jest to zbiór par liczb określających ilość i rodzaj elementów funkcjonalnych, których uszkodzenia tworzą sumę bloków  $(\sum F)_p$ , przy czym pierwsza liczba określa typ elementu, a druga ilość elementów tego rodzaju.

Podobnie zdefiniowana jest cecha modułu  $C_u^m$  określająca rodzaj i ilość elementów funkcjonalnych w poszczególnych modułach  $M_u$  należących do zbioru dopuszczalnych modułów  $M$ .

Poniżej zdefiniowane zostaną podobnie jak w [6] podstawowe operacje definiujące elementy procedury  $\pi$ .

$\square$  - operacja na zbiorze  $F$  względem  $P_k$  i  $T_k$  oznaczona przez  $\square(F)$  jest to rozbitcie  $F$  na bloki  $F_1$ .

$\Omega$  - operacja jest to określenie sumy bloków  $(\sum F)_p$  z minimalnej liczby bloków  $F_1$ . Dokonuje się tego w oparciu o tzw. "lawinowe" określenie sumy bloków szczegółowo opisane w [6].

$\wedge$  - operacja - jest to przyporządkowanie elementów funkcjonalnych modułom  $M_u \in M$ .

Prosta suma bloków  $(\sum F)_p$  jest każda suma bloków, która po usunięciu z niej dowolnego bloku przestaje być sumą bloków. Jak łatwo zauważyć prosta suma bloków zawiera minimalną liczbę bloków oraz, że suma bloków uzyskana drogą lawinowego określania jest zawsze prostą sumą bloków.

Bazując na zdefiniowanych określeniach w dalszej części pracy sformułowane będą podstawy teoretyczne iteracyjnej procedury syntezy łatwo diagnozowalnych modułowych struktur.

### 3. Teoretyczne podstawy metody przydziału elementów funkcjonalnych modułom

Problem przedstawiony w niniejszej pracy jest następujący - dla zadanej struktury funkcjonalnej układu cyfrowego, zadanej klasy pojedynczych, trwałych, logicznych uszkodzeń przypisanych poszczególnym elementom funkcjonalnym należy określić sposób przydziału elementów funkcjonalnych modułom ze zbioru modułów przeznaczonych do technicznej realizacji układu, związany z minimalnym lub zbliżonym do minimalnego kosztem diagnozy układu przeprowadzonej z dokładnością do modułu. Koszt diagnozy określany jest następującą zależnością:

$$K = \omega_1 \cdot n + \omega_2 \cdot m$$

gdzie:

$n$  - ilość testów procedury diagnostycznej lokalizującej uszkodzony moduł,

$m$  - ilość punktów kontrolnych niezbędnych dla zlokalizowania uszkodzonych modułów za pomocą  $n$  testów,

$\omega_1$  i  $\omega_2$  - wagi (koszt jednostkowy) odpowiednio testu i punktu kontrolnego.

W ogólnym przypadku koszt diagnozy dla danej struktury modułowej  $S_i$  określony jest zależnością:

$$K_i = \sum_{j=1}^p \omega_j r_{ji}$$

gdzie:

$r_{ji}$  - wielkość ujmująca ilościowo proste właściwości diagnostyczne jak ilość testów procedury diagnostycznej, ilość dodatkowych punktów kontrolnych, ilość modułów sztucznej redundancji modułowej itp.

Dla rozwiązania postawionego powyżej problemu proponuje się procedurę  $\pi$  iteracyjną, w której w poszczególnych krokach dokonuje się w oparciu o wybrane zbiory  $P_k$  i  $T_k$  operacji  $\Gamma(F) \Big|_{P_k}^{\pi}$  prowadzącej do rozbitcia zbioru  $F$  na bloki  $F_1$  oraz operacji  $\cup$  tworzenia drogą "lawinowego" określania sum bloków  $(\sum F)_p$ . W oparciu o określone w ten sposób sumy bloków i ich kombinacje dokonuje się, jeżeli to jest możliwe, operacji  $\wedge$  czyli przydziału elementów funkcjonalnym modułom.

Zasadniczym problemem jaki tutaj występuje jest zagadnienie ustalenia kryterium wyboru testów do zbioru  $T_k$  i dodatkowych punktów kontrolnych  $P_k$  dla dokonywania operacji  $\Gamma$ .

W niniejszej pracy proponuje się następujące podejście: w  $k$ -tym kroku procedury  $\mathcal{T}$  wybiera się parę "test-punkt kontrolny" o maksymalnej wartości wskaźnika jakości.

Zważywszy na fakt, że największe prawdopodobieństwo rozbitcia na bloki  $F_1$  zbioru  $F$ , tworzące sumy  $(\sum F)_p$  dogodne do kojarzenia elementów funkcjonalnych z modułami  $M_u \in M$  uzyskuje się w przypadku symetrycznych rozbić bloków  $F_1$  z pierwotnych  $(k-1)$  iteracji, preferowany jest wskaźnik jakości, którego wartość rośnie wraz ze wzrostem liczby par uszkodzeń nie związanych z tymi samymi elementami funkcjonalnymi rozróżnianych w operacji o  $P_k$  i  $T_k$  oraz którego wartość maleje ze wzrostem kosztu wybierania pary "test-punkt kontrolny".

$$J_k = \frac{\Delta n_k(t_1, p_r)}{\omega_1(t_1)_k + \omega_2(p_r)_k}$$

gdzie:

$\Delta n_k(t_1, p_r)$  - przyrost ilości par uszkodzeń rozróżnianych w  $k$ -tym kroku procedury  $\mathcal{T}$  nie związanych z tymi samymi elementami funkcjonalnymi

gdzie:

$t_1$  - test wybierany w  $k$ -tym kroku procedury,  $t_1 \in T_k$ ,  
 $p_r$  - punkt kontrolny wybierany w  $k$ -tym kroku procedury,  $p_r \in P_k$ .

$$\omega_1(t_1)_k = \begin{cases} \omega_1, & \text{gdy } t_1 \notin T_{k-1} \\ 0, & \text{gdy } t_1 \in T_{k-1} \end{cases}$$

$$\omega_2(p_r)_k = \begin{cases} \omega_2, & \text{gdy } p_r \notin P_{k-1} \\ 0, & \text{gdy } p_r \in P_{k-1} \end{cases}$$

Ileś par uszkodzeń rozróżnionych w  $k$ -tym kroku procedury  $\Delta n_k(t_1, p_r)$  można obliczyć jako różnicę ilości par uszkodzeń koniecznych do rozróżnienia w  $(k-1)$  i w  $k$ -tym kroku procedury. Oznaczając te ilości odpowiednio przez  $n_{(k-1)}(t_w, p_m)$  oraz  $n_k(t_1, p_r)$  otrzymuje się:

$$\Delta n_k(t_1, p_r) = n_{(k-1)}(t_w, p_m) - n_k(t_1, p_r)$$

I kolejną wartość  $n_k(t_1, p_r)$  i analogicznie  $n_{(k-1)}(t_w, p_m)$  określa się wzorem:

$$n_k(t_1, p_r) = \sum_{i=1}^{i_1} \left[ \binom{n_1^i}{2^i} - \sum_{v=1}^{v_1} \binom{n_1^v}{2^v} \right]$$

gdzie:

$n_i$  - liczność i-tego bloku  $F_i$ ,  $i=1,2,\dots,i_1$

$n_i^v$  - ilość uszkodzeń z  $F_i$  związanych z v-tym elementem funkcjonalnym.

W poszczególnych krokach procedury wybrana może być jedna z par:

para 1 typu - "nowy test - nowy punkt kontrolny"

para 2 typu - "nowy test - bez nowego punktu kontrolnego"

para 3 typu - "bez nowego testu - nowy punkt kontrolny"

Poniżej przedstawiono dwa twierdzenia. Tw. 1 uzasadnia uwzględnianie w procedurze  $\pi$  jedynie prostych sum bloków i sum będących ich kombinacjami, zaś twierdzenie 2 mówi o możliwościach wykorzystania zbiorów  $P_k$  i  $T_k$  utworzonych w procedurze  $\pi$ , dla diagnostyki rozpatrywanego układu przeprowadzanej z dokładnością do modułu.

### Twierdzenie 1

Jeżeli nie jest możliwe wykonanie  $\Lambda$ -operacji w oparciu o proste sumy bloków  $(\sum F)_p^*$  w h-tym kroku procedury  $\pi$  oraz w oparciu o kombinacje tych sum, to nie jest możliwe wykonanie  $\Lambda$ -operacji w tym kroku w oparciu o rozbięcia  $\Gamma(F) \Big|_{P_k}^{T_k}$ .

### Dowód

Z niewykonalności operacji  $\Lambda$  zgodnie z założeniem wynika, że dla poszczególnych prostych sum bloków zawierających minimalne ilości bloków  $F_i$  cechy tych sum  $C_p^{\sum F^*}$  są różne od cech  $C_u^m$  modułów  $M_u \in M$ .

Nie można utworzyć sum bloków  $(\sum F)_p$  związanych z mniejszą liczbą elementów funkcjonalnych niż proste sumy bloków w h-tym rozważanym kroku procedury  $\pi$ . Wynika to z definicji prostych sum bloków.

Sumy bloków związane z większą liczbą elementów funkcjonalnych można uzyskać jedynie drogą sumowania dowolnych kombinacji prostych sum bloków. Skoro jednak zgodnie z założeniem, cechy sum bloków uzyskanych w wyżej opisanym sposobie nie są równe cechom modułów  $M_u \in M$ , to ponieważ w h-tym kroku procedury  $\pi$  nie ma możliwości utworzenia innych sum bloków, wykonanie  $\Lambda$ -operacji nie jest możliwe. Zatem rozbięcie  $\Gamma(F) \Big|_{P_k}^{T_k}$ , w oparciu o które utworzono rozpatrywane powyżej proste sumy bloków  $(\sum F)_p^*$ , jest niewystarczające do zakończenia  $\Lambda$ -operacją procedury  $\pi$ .

ebdo

### Twierdzenie 2

Niezależnie od sposobu wybrania zbiorów  $P_k$  i  $T_k$  takich, że  $\Gamma(F) \Big|_{P_k}^{T_k}$  umożliwia wykonanie  $\Lambda$ -operacji możliwe jest przeprowadzenie diagnozy w oparciu o zbiory  $T_k$  i  $P_k$  z dokładnością do uszkodzonego modułu w układzie cyfrowym o strukturze modułowej uzyskanej drogą  $\Lambda$ -operacji w procedurze  $\pi$ .

### Dowód

Jeżeli w oparciu o  $\Gamma(F) \Big|_{P_k}^{T_k}$  możliwe jest wykonanie  $\Lambda$ -operacji to sumy bloków, których cechy  $C_p^{\sum F^*}$  są równe odpowiednim cechom  $C_u^m$  modułów

$M_u \in M$  i łączą one w blokach uszkodzenia związane z pojedynczymi, określonymi przez procedurę  $\pi$  modułami. Zatem uszkodzenia elementów funkcjonalnych zgrupowanych w modułach  $M_u \in M$ , tworzące bloki  $F_i$  wykorzystane do kojarzenia mogą być odróżnione od uszkodzeń innych modułów. Oznacza to, że dla uzyskanej drogą procedury modułowej struktury układu cyfrowego zbiór  $T_k$  i  $P_k$  umożliwia lokalizację uszkodzonego modułu. Zatem w oparciu o zbiory  $T_k$  i  $P_k$  możliwe jest przeprowadzenie diagnozy z dokładnością do modułu układu cyfrowego o strukturze modułowej określonej przez procedurę  $\pi$ .

cbdc

#### 4. Procedura $\pi$

Procedura  $\pi$  umożliwia określenie modułowej struktury rozpatrywanego układu cyfrowego o minimalnym lub prawie minimalnym koszcie diagnozy przeprowadzanej z dokładnością do modułu. Jednocześnie ustalany jest zbiór dodatkowych punktów kontrolnych i testów (por. tw. 2) wymagany dla przeprowadzenia procedury diagnostycznej.

##### Opis procedury

Dane wejściowe: tablica uszkodzeń  $F$  dla wyjść i punktów wewnętrznych  $M(C_u^m, M_u \in M)$ , rodzaje elementów funkcjonalnych w układzie cyfrowym

$$1^\circ k=1, P_k = \phi, T_k = \phi$$

2° Wybór pary  $\{T_h, P_s\}$  o maksymalnej wartości wskaźnika:

$$J_k = \frac{\Delta n_k(t_1, P_r)}{\omega_1(t_1)_k + \omega_2(P_r)_k}$$

$$\omega_1 = \begin{cases} \omega_1, & \text{gdy } t_1 \notin T_{k-1} \\ 0, & \text{gdy } t_1 \in T_{k-1} \end{cases}$$

$$\omega_2 = \begin{cases} \omega_2, & \text{gdy } t_1 \notin P_{k-1} \\ 0, & \text{gdy } t_1 \in P_{k-1} \end{cases}$$

$$P_k := P_k + \{P_s\}, \quad T_k := T_k + \{T_h\}$$

$$3^\circ \Gamma(F) \Big|_{P_k}^{T_k} \Rightarrow (F_1, 1=1, 2, \dots, 11)$$

$$4^\circ \mathcal{G} \Rightarrow ((\Sigma F)_p^*, p=1, \dots, pp)$$

$$5^\circ (\bigwedge_{u \in U} \bigwedge_{p \in P} \bigvee_{\{u, p\}} C_u^m = C_p^{\Sigma F^*}) \Rightarrow (\text{GOTOB})$$

6° Jeżeli 5° jest FALSE, to:

$$(\sum F)_c = \bigcup_{p=1}^{pp} (\sum F)_p^m \cdot \delta_p$$

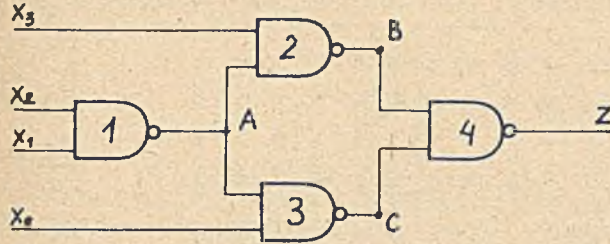
$$\delta_p = \begin{cases} c = 1, & 000\dots01 \\ c = 2, & 000\dots10 \\ \vdots & \vdots \\ c = cc, & 111\dots11 \end{cases}$$

7°  $(\bigwedge_{u \in U} \bigwedge_{p \in P} \{u,p\}) \quad G_u^m = G_p^{\sum F} \Rightarrow \text{GOTO8, ELSE GOTO } 2^\circ$

8° STOP.

Tak zorganizowana procedura może być z łatwością wykorzystana w systemie automatycznego projektowania układów cyfrowych dla syntezy modułowych struktur o zadanych właściwościach diagnostycznych.

Poniżej zostanie przedstawiony przykład ilustrujący pewne szczegóły procedury  $\pi$ . Z uwagi na ilość informacji niezbędnej dla dokładnego prześledzenia



Rys. 1. Schemat układu logicznego z przykładu

kanych drogą syntezy z zastosowaniem procedury  $\pi$  w porównaniu z innymi strukturami.

Przykład

Dla układu cyfrowego z rys. 1 dokonać przydziału elementów funkcjonalnych 1,2,3 i 4 modułom o cechach  $G_1^m = (1,2)$  i  $G_2^m = (1,2)$  wykorzystując procedurę  $\pi$ . Zbiór punktów kontrolnych  $P = \{A,B,C,Z\}$  i dopuszczalny zbiór testów  $T = \{0,1,2,3,4,5,6,7,8,14,15\}$   $x_3x_2x_1x_0$ . Koszty jednostkowe odpowiednio testu i dodatkowego punktu kontrolnego są równe:  $\omega_1 = 2$  i  $\omega_2 = 3$ .

Przyjmując, że w układzie wystąpić mogą jedynie trwałe logiczne i pojedyncze uszkodzenia typu wyjścia poszczególnych elementów funkcjonalnych s-z-0 i s-z-1.

Tablica uszkodzeń dla rozpatrywanego układu przedstawiona jest na rys.2.

W pierwszym (h=1) kroku procedury wybierany jest test  $T_{14}$  (lub  $T_{15}$ ), który wraz z wyjściem tworzy parę  $(T_{14}, Z)$  o maksymalnym wskaźniku

$$J_1 = \frac{28-12}{2} = 8$$

		$z_j$	0	1	2	3	4	5	6	7	8	14	15	
wyjście Z	$z_0$		0	1	0	1	0	1	0	0	1	0	0	
	$z_1$		0	0	0	0	0	0	0	1	0	1	1	
	$z_2$		1	0	1	0	1	0	1	1	0	1	1	
	$z_3$		0	0	0	0	0	0	0	0	1	0	0	
	$z_4$		1	0	1	0	1	0	1	1	0	1	1	
	$z_5$		0	1	0	1	0	1	0	0	0	0	0	
	$z_6$		0	1	0	1	0	1	0	0	1	0	0	
	$z_7$		1	0	1	0	1	0	1	1	0	1	1	
	punkt A	$z_8$		1	1	1	1	1	1	0	0	1	0	0
		$z_9$		0	0	0	0	0	0	1	1	0	1	1
punkt B	$z_{10}$		0	0	0	0	0	0	0	0	1	0	0	
	$z_{11}$		0	0	0	0	0	0	0	0	0	1	1	
	$z_{12}$		1	1	1	1	1	1	1	1	0	1	1	
	$z_{13}$		0	0	0	0	0	0	0	0	1	0	0	
punkt C	$z_{14}$		0	1	0	1	0	1	0	0	0	0	0	
	$z_{15}$		0	0	0	0	0	0	0	1	0	0	1	
	$z_{16}$		1	0	1	0	1	0	1	1	1	1	1	
	$z_{17}$		0	1	0	1	0	1	0	0	0	0	0	

Rys. 2. Tablica uszkodzeń układu z przykładu, przy obserwacji wejścia, punktu A, punktu B i punktu C

Koszt jednostkowy  $\omega_2$  wyjścia Z przyjęto zero, ponieważ nie jest to dodatkowy punkt kontrolny.

$$\begin{aligned}
 & (\Gamma(F) \mid \begin{matrix} T_1 \\ P_1 \end{matrix}, T_1 = \{T_{14}\}, F_1 = \{Z\}) \Rightarrow \\
 & (P_1 = \{1_1, 2_0, 3_0, 4_1\} \text{ oraz } F_2 = \{1_0, 2_1, 3_1, 4_0\}) \\
 & \Omega_2, \Sigma F_1^* = F_1 + F_2, C_1^{\Sigma F^*} = \{1, 4\} \\
 & C_1^{\Sigma F^*} + C_1^m = C_2^m
 \end{aligned}$$



Zatem w pierwszym kroku procedury nie można wykonać operacji  $\wedge$ . W drugim kroku procedury ( $h=2$ ) wybierana jest para  $(T_5, C)$  o maksymalnym wskaźniku  $J_2 = \frac{12-3}{2+3} = \frac{9}{5}$ .

$$\begin{aligned} & (\Gamma(F) \mid_{P_2}^T, T_2 = \{T_{14}, T_5\}, P_2 = \{Z, D\}) \Rightarrow \\ & (F_1 = \{2_1\}, F_2 = \{1_0 3_1\}, F_3 = \{4_0\}, F_4 = \{1_1 3_0\}, F_5 = \{2_0 4_1\}) \\ & \text{gdzie } \Sigma F_1^* = F_1 + F_5 + F_3 = \{2_1 2_0 4_1 4_0\} \\ & \quad \Sigma F_2^* = F_2 + F_4 = \{1_0 3_1 \ 1_1 3_0\} \\ & \quad C_1^{\Sigma F^*} = \{1, 2\}, \quad C_2^{\Sigma F^*} = \{1, 2\} \end{aligned}$$

W tym kroku możliwe jest wykonanie  $\wedge$ -operacji, ponieważ np.

$$C_1^{\Sigma F^*} = \{1, 2\} = C_1^m = \{1, 2\}$$

$$C_2^{\Sigma F^*} = \{1, 2\} = C_2^m = \{1, 2\}$$

Zatem otrzymuje się modułową strukturę rozpatrywanego układu:

lub

$$\begin{aligned} M_1 = \{2, 4\} \quad \text{i} \quad M_2 = \{1, 3\} \\ M_1 = \{1, 3\} \quad \text{i} \quad M_2 = \{2, 4\} \end{aligned}$$

Koszt całkowity diagnozy wynosi  $K = 2.2 + 1.3 = 7$ . Jest to, jak łatwo sprawdzić, przy warunkach określonych w niniejszym przykładzie optymalna pod względem właściwości diagnostycznych modułowa struktura rozpatrywanego układu cyfrowego.

Jednocześnie zbiory testów  $T = \{T_{14}, T_5\}$  i punktów kontrolnych  $P = \{Z, C\}$  wystarczają do przeprowadzenia diagnozy z dokładnością do uszkodzonego modułu tzn.  $M_1 = \{2, 4\}$  lub  $M_2 = \{1, 3\}$ .

##### 5. Wnioski i uwagi końcowe

Zaproponowana w niniejszej pracy procedura określania łatwodiagnozowalnych modułowych struktur układów cyfrowych pozwala w oparciu o tablice uszkodzeń rozpatrywanego układu określić przydział elementów funkcjonalnych modułów przeznaczonym do technicznej realizacji tego układu. Uzyskana tą drogą modułowa struktura ma całkowity koszt diagnozy minimalny lub zbliżony do minimalnego.

Opisana powyżej procedura pozwala na optymalizację modułowych struktur również w przypadkach zadanych licznosci jednego ze zbiorów, tzn. zbioru testów diagnostycznych lub zbioru dodatkowych punktów kontrolnych.

Uzyskanie bezwzględnie optymalnej, w rozumieniu tej pracy, struktury modułowej układu cyfrowego o zadanej strukturze funkcjonalnej jest możliwe jedynie drogą przeglądu wszystkich możliwych przydziałów, co już w przypadku układów o 20-30 elementach funkcjonalnych i modułów 4-6 elementowych jest praktycznie niewykonalne [6].

#### LITERATURA

- [1] CHANG H.Y.: An Algorithm for Selecting an Optimum Set of Diagnostic Tests. IEEE Trans. on El.Comp. No 5/1965.
- [2] CZIPULIS N.P.: Metody minimalizacji rozrzeszajączej sposobności diagnoza i diagnostycznej informacji. Awtomatika i telemekhanika 2/1973.
- [3] MAYEDA W., RAMAMOORTHY C.V.: Distinguishability Criteria in Oriented Graphs and Their Application to Computer Diagnosis - I. IEEE Trans. on Circuit Theory, No 4, 1969.
- [4] POWELL T.J.: A procedure for Selecting Diagnostic Tests. IEEE Trans. on Computers, Nr 2, 1969.
- [5] BUDKA M.: The method of test set and test points selection for fault diagnosis of digital circuits. International Conference on Fault-Tolerant Systems and Diagnostics FTSD'78. Gdańsk 1978.
- [6] BUDKA M.: Podział sieci logicznej na moduły z uwzględnieniem aspektów diagnostyki. Zeszyty Naukowe Politechniki Śląskiej, Automatyka, w druku.

#### О НЕКОТОРОМ МЕТОДЕ РАСПРЕДЕЛЕНИЯ ФУНКЦИОНАЛЬНЫХ ЭЛЕМЕНТОВ ПО МОДУЛЯМ В ЦИФРОВЫХ СХЕМАХ

#### Р е з ю м е

В статье обсуждена проблема распределения функциональных элементов по модулям с учетом диагностических свойств полученной в результате этого распределения структуры цифровой схемы. Описан метод распределения функциональных элементов по модулям обеспечивающего получение модульных структур с минимальной или почти минимальной стоимостью диагноза, связанной с количеством добавочных контрольных точек и диагностических тестов необходимых для обнаружения места неисправностей с точностью до модуля.

#### ON A METHOD OF ASSIGNING FUNCTIONAL ELEMENTS TO MODULES IN DIGITAL CIRCUITS

#### S u m m a r y

The problem of assignment of functional elements to modules taking into consideration some aspects of diagnostics of the module structure of digital circuits, is under discussion in the paper.

There has been presented method of assignment of functional elements to modules; it ensures attaining the module structures at the minimal or nearly minimal cost of diagnosis, where the cost is connected with the number of additional test points and diagnostic test indispensable for damage localization up to the module level of accuracy.